

# 单环刺螠线粒体基因组全序列的获得——长 PCR 结合鸟枪法测序

申 欣<sup>1,2</sup>, 吴志刚<sup>2,3</sup>

(1. 淮海工学院 海洋学院, 江苏 连云港 222005; 2. 中国科学院 海洋研究所, 山东 青岛 266071; 3. 加州大学河滨分校, 美国 加利福尼亚州 92521)

**摘要:** 由于具有单基因所不可比拟的优势, 线粒体基因组现已成为后生动物种群遗传和分子系统发育研究中一个重要的信息来源。本研究选取螠虫动物的代表物种——单环刺螠(*Urechis unicinctus*), 详细阐述了利用长 PCR 方法扩增其线粒体 DNA, 获得约 15 kb 的扩增产物, 进而构建 shotgun 文库, 最终成功获得单环刺螠线粒体基因组全序列的流程。本实验流程样品需求量少、设备要求低、简便快捷。

**关键词:** 线粒体基因组; 长 PCR; 鸟枪法; 单环刺螠(*Urechis unicinctus*)

中图分类号: Q959.195

文献标识码: A

文章编号: 1000-3096(2010)12-0026-04

由于分子生物学和基因组学的快速发展, 科学家们逐渐认识到生命形式起源和进化的密码蕴涵在 DNA 链中, 核苷酸的组合变化和基因的排列顺序提供了有价值的系统发育信息。与单个基因相比, 线粒体基因组是一个完整的体系, 具有信息量丰富(包括 RNA 二级结构和基因排列顺序等)和系统发育树结构稳定等优点<sup>[1~3]</sup>。由于线粒体基因组具有诸多优势, 使其成为研究后生动物关键类群的起源、进化、系统发育关系及群体遗传分化的理想材料<sup>[4~6]</sup>。

目前可以通过 3 种方法获得后生动物线粒体基因组: 常规 PCR 方法、物理分离方法和长 PCR 方法。常规 PCR 方法操作简单、对样品需求量少, 但容易受到线粒体假基因和串联重复区的干扰; 而物理方法分离线粒体基因组 DNA, 则存在对仪器要求高、样品需求量大等缺点<sup>[2]</sup>, 这在一定程度上制约着线粒体基因组研究的快速发展。本研究选取螠虫动物代表物种——单环刺螠(*Urechis unicinctus*), 利用长 PCR 方法扩增其线粒体 DNA 进而对长 PCR 产物构建 shotgun 文库, 最终成功获得单环刺螠线粒体基因组全序列。本实验流程的建立为测定其他海洋无脊椎动物的线粒体基因组提供较高的参考价值。

## 1 材料与方法

### 1.1 材料

鲜活的单环刺螠样品购于水产品市场, 体长约 15 cm, 呈长囊形, 身体呈淡红色, 由吻及躯干两部

分组成。

### 1.2 方法

#### 1.2.1 单环刺螠线粒体分离及线粒体 DNA 提取

取 1g 单环刺螠肌肉组织, 在洁净培养皿里将其剪碎。将剪碎的肌肉组织转入匀浆管里进一步匀浆。匀浆时, 按照比例[匀浆缓冲液体积(mL) : 组织质量(g) = 2 : 1]加入匀浆缓冲液(100 mmol/L Tris-HCl, 250 mmol/L 蔗糖, 10 mmol/L EDTA, pH 7.4); 匀浆 10 次左右至无块状组织, 把匀浆液转移至 1.5 mL 无菌 Eppendorf 管中; 4 ℃、2 300 g 离心 10 min, 弃沉淀, 转上清于新的无菌 Eppendorf 管中; 重复上述步骤 1 次; 取上清液于 4 ℃、20 000 g 离心 20 min 沉淀线粒体, 弃上清。然后, 加 750 μL 裂解液(100 mmol/L Tris-HCl, 100 mmol/L EDTA, 1.5 mol/L NaCl, 1% CTAB, pH 8.0)裂解提取 DNA, 所得 DNA 作为常规 PCR 和长 PCR 的模板。

#### 1.2.2 单环刺螠线粒体 DNA 的 PCR 扩增

利用后生动物 *cox1* 基因的通用引物(LCO: GGT CAA CAA ATC ATA AAG ATA TTG G, HCO: TAA ACT TCA GGG TGA CCA AAA AAT CA)<sup>[7]</sup>采取常规 PCR 的扩增方案获得 *cox1* 基因的部分片段, 测序后得到单环刺螠 *cox1* 基因的部分序列, 然后根据此序

收稿日期: 2010-03-05; 修回日期: 2010-08-04

基金项目: 江苏省自然科学基金项目(BK2007066); 江苏省海洋生物技术重点建设实验室课题(2009HS13)

作者简介: 申欣(1981-), 男, 山东成武人, 讲师, 博士, 主要从事线粒体基因组学的研究, E-mail: shenthin@163.com

列设计长 PCR 引物(*cox1F*: TCA CCC TGT TCC TAC TCC TCC ACC AA, *cox1R*: CCT ACG ACC AGA ACG AAT GCC TTT AT), 扩增余下的线粒体基因组区域, 从而获得单环刺螠线粒体 DNA(图 1)。长 PCR 扩增的反应体系为: 18 μL ddH<sub>2</sub>O、2.5 μL LA-Buffer (Mg<sup>2+</sup> plus, Takara)、0.5 μL dNTP(分别为 10 mmol/L)、1 μL *cox1F*(5 μmol/L)、1 μL *cox1R*(5 μmol/L)、1 μL LA Taq 聚合酶(1 unit, Takara)和 1 μL 模板。长 PCR 扩增的反应条件为: 94 变性 2 min, 然后 34 个循环(94 退火 20 s, 54 退火 45 s, 65 延伸 13 min), 最后 72 延伸 10 min, 最终获得了大小约 15 kb 的线粒体 DNA 片段(图 2)。

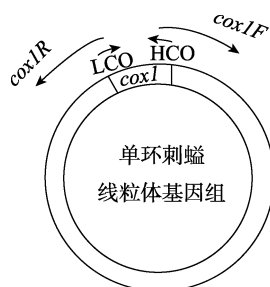


图 1 单环刺螠线粒体基因组的扩增方法

Fig. 1 The amplification strategy of *U. unicinctus* mitochondrial genome

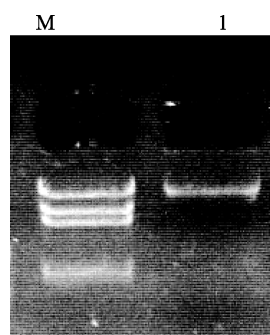


图 2 单环刺螠线粒体 DNA 长 PCR 扩增产物

Fig. 2 Long-PCR amplification product of *U. unicinctus* mitochondrial DNA

M. Lambda DNA/EcoRI+HindIII 标记; 1. 长 PCR 扩增产物  
M. Lambda DNA/EcoRI+HindIII Marker; 1. Long-PCR amplification product

### 1.2.3 单环刺螠线粒体 DNA 随机破碎及 shotgun 文库的构建

把长度约为 15 kb 的 PCR 产物置于冰上用超声破碎仪破碎(200 V, 持续时间 0.2 s, 破碎 3~5 次), 在 1% 琼脂糖凝胶上检测线粒体 DNA 的破碎情况。在进行末端修复后, 利用胶回收试剂盒(QIAGEN Gel Purification Kit)回收破碎后的 PCR 产物, 纯化后的

产物随后与 pUC18(Takara)平端载体连接 16 h。连接产物于透析膜上透析 1 h。取 1 μL 透析后连接产物用 BIO-RAD 电转仪电击(电压: 2.1 kV)转入 49 μL 大肠杆菌(*Escherichia coli*)DH10B, 电击产物迅速转入 1 mL SOC 培养基中, 180 r/min 复苏 1 h, 取 100 μL 菌液在 LB 平板(含氨苄青霉素 100 mg/L、X-gal 40 mg/L 和 IPTG 24 mg/L)上过夜培养。

### 1.2.4 重组质粒测序

根据 pUC18 载体自身序列设计的 M13+ 和 M13- 引物在 ABI 3730 x1 自动测序仪上对阳性克隆进行测序。单环刺螠线粒体基因组大部分序列是通过克隆测序获得; 在克隆没有覆盖到的区域以及低质量值的位置, 通过设计引物进行常规 PCR 扩增, 然后对常规 PCR 产物进行测序获得峰图。

### 1.2.5 序列拼接及基因注释

将测序峰图文件通过 Phred-phrap 软件进行序列组装<sup>[8,9]</sup>, 然后通过 Consed 软件对序列拼接的精确性和测序质量进行检查<sup>[10]</sup>, 从而获得单环刺螠线粒体基因组全序列。蛋白质编码基因和核糖体 RNA 基因通过 DOGMA 软件进行注释<sup>[11]</sup>, 而转运 RNA 基因通过 tRNAscan-SE 1.21 软件进行预测<sup>[12]</sup>。

## 2 结果与讨论

### 2.1 单环刺螠线粒体基因组结构及组成

单环刺螠线粒体基因组全长为 15 761 bp, 与其他大多数后生动物线粒体基因组的基因组成相同, 共编码 37 个基因, 其中包括 13 个蛋白质编码基因、22 个转运 RNA 基因和两个核糖体 RNA 基因。基因排列顺序与美洲刺螠(*Urechis caupo*)线粒体基因组完全相同<sup>[13]</sup>。单环刺螠、美洲刺螠与已知的环节动物线粒体基因组在基因分布上具有一个共同的特征: 所有基因都在同一条链上编码<sup>[14~17]</sup>。

### 2.2 单环刺螠线粒体基因组的非编码区

单环刺螠线粒体基因组与已测定的其他后生动物线粒体基因组一样, 包含了几个非编码区。非编码区总长 997 bp, 其中最长的非编码区长度为 923 bp, 余下的 74 bp 分布在线粒体环上其他的 15 个区域, 除了在 *tRNA<sup>Ser (AGN)</sup>* 和 *cox3* 之间的非编码区域长达 42 bp 之外, 其余非编码区的长度均在 1~5 bp。单环刺螠、美洲刺螠与环节动物代表物种的最大非编码区的长度和 AT 含量见表 1。

表 1 单环刺螠、美洲刺螠与环节动物代表物种线粒体基因组的最大非编码区

Tab. 1 The largest non-coding region of available echinoderms and annelids mitochondrial genomes

物种名称	最大非编码区			AT (%)
	起始位点	终止位点	长度(bp)	
单环刺螠	10328	11250	923	69.8
美洲刺螠	10318	10600	283	71.0
掘穴环爪蚓( <i>Perionyx excavatus</i> )	5916	6419	504	75.0
陆正蚓( <i>Lumbricus terrestris</i> )	5981	6364	384	64.3
襟节虫( <i>Clymenella torquata</i> )	5919	6740	822	76.5
锥头虫( <i>Orbinia latreillii</i> )	9888	10520	633	74.1
褐片阔沙蚕( <i>Platynereis dumerilii</i> )	2416	3506	1091	71.9

### 2.3 基因排列顺序

Boore 等<sup>[18]</sup>认为基因排列的比较可为系统发育研究提供一些有价值的信息，特别是在探讨一些古老进化关系时。比较螠虫动物和环节动物的线粒体基因组的基因排列，呈现出较高的保守性。环节动物门内的基因顺序相对保守<sup>[14]</sup>，单环刺螠线粒体基因组有 3 个基因区块与环节动物具有相同的基因排列顺序，分别是 *trnT-nad4L-nad4*、*nad1-trnI* 和 *trnQ-nad6-cob-trnW-atp6-trnR-trnH-nad5-trnF*(图 3)。这些保守的基因排列顺序在线粒体基因组层次上支持螠虫动物和环节动物具有亲缘关系。

### 2.4 3 种线粒体基因组获取方法的比较

目前可通过 3 种方法获得后生动物线粒体基因组：常规 PCR 方法、物理分离方法和长 PCR 方法。

常规 PCR 的方法根据后生动物线粒体基因组的通用

引物，或通过近源物种的线粒体基因组全序列，设计出覆盖全基因组的引物，采用常规 PCR 技术对线粒体基因组进行扩增。常规 PCR 的方法具有操作简单、对样品需求量少等优点，但在操作中容易受到线粒体假基因和串联重复区的干扰<sup>[2,19]</sup>。而基于物理方法分离线粒体基因组 DNA(主要包括密度梯度离心法和差速离心法等)，则存在对仪器要求高、样品需求量大等缺点。基于长 PCR 的方法对模板质量、引物特异性和聚合酶都有相对较为严格的要求<sup>[2]</sup>。本研究以 1g 单环刺螠肌肉组织为实验材料，利用长 PCR 方法扩增其线粒体 DNA，获得约 15kb 的扩增产物，进而超声随机破碎、构建 shotgun 文库，最终成功获得单环刺螠线粒体基因组全序列的流程。

### 3 结论

本研究通过长 PCR 方法，高效、快捷地获得高



图 3 蛞虫动物和环节动物线粒体基因组基因排列的比较

Fig. 3 Gene order of mitochondrial genomes from Echiura and Annelida

灰色的区域表示保守的基因排列区块

The gray areas show the conserved blocks of gene order

纯度的单环刺螠线粒体 DNA, 通过构建 shotgun 文库顺利获得了单环刺螠线粒体基因组全序列, 通过生物信息学软件进行了序列组装和基因预测。结果显示, 单环刺螠线粒体基因组 DNA 为双链环状 DNA, 全长 15 761 bp; 与后生动物线粒体基因组典型的基因组成相同, 包含 37 个基因, 其中 13 个蛋白质编码基因、22 个 tRNA 基因和 2 个核糖体 RNA 基因。本实验方法与物理分离方法相比具有样品需求量少、设备要求低和简便快捷等优点, 而且同时避免了常规 PCR 容易受到假基因和串联重复区干扰等问题, 为测定其他海洋无脊椎动物的线粒体基因组提供参考。

## 参考文献:

- [1] Boore J L, Collins T M, Stanton D, et al . Deducing the pattern of arthropod phylogeny from mitochondrial DNA rearrangements[J]. *Nature*, 1995, 376: 163-165 .
- [2] 尚娜, 周志军 . 动物线粒体基因组全序列测定的研究策略[J]. 河池学院学报, 2008, 28(2): 62-65 .
- [3] Lavrov D V, Lang B F . Poriferan mtDNA and animal phylogeny based on mitochondrial gene arrangements[J]. *Syst Biol*, 2005, 54: 651-659 .
- [4] Helfenbein K G, Fourcade H M, Vanjani R G, et al . The mitochondrial genome of *Paraspadella gotoi* is highly reduced and reveals that chaetognaths are a sister group to protostomes[J]. *Proc Natl Acad Sci USA*, 2004, 101: 10 639-10 643 .
- [5] Dellaporta S L, Xu A, Sagasser S, et al . Mitochondrial genome of *Trichoplax adhaerens* supports placozoa as the basal lower metazoan phylum[J]. *Proc Natl Acad Sci USA*, 2006, 103: 8 751-8 756 .
- [6] Shen X, Ma X Y, Ren J F, et al . A close phylogenetic relationship between Sipuncula and Annelida evidenced from the complete mitochondrial genome sequence of *Phascolosoma esculenta*[J]. *BMC Genomics*, 2009, 10: 136-146 .
- [7] Folmer O, Black M, Hoeh W, et al . DNA primers for amplification of mitochondrial cytochrome c oxidase subunit I from diverse metazoan invertebrates[J]. *Mol/L Mar Biol Biotechnol*, 1994, 3(5): 294-299 .
- [8] Ewing B, Hillier L, Wendl M C, et al . Base-calling of automated sequencer traces using phred. I. Accuracy assessment[J]. *Genome Res*, 1998, 8(3): 175-185 .
- [9] Ewing B, Green P . Base-calling of automated sequencer traces using Phred. II. Error probabilities[J]. *Genome Res*, 1998, 8(3): 186-194 .
- [10] Gordon D, Abajian C, Green P . Consed: A graphical tool for sequence finishing[J]. *Genome Res*, 1998, 8(3): 195-202 .
- [11] Wyman S K, Jansen R K, Boore J L . Automatic annotation of organellar genomes with DOGMA[J]. *Bioinformatics*, 2004, 20(17): 3 252-3 255 .
- [12] Lowe T M, Eddy S R . tRNAscan-SE: a program for improved detection of transfer RNA genes in genomic sequence[J]. *Nucleic Acids Res*, 1997, 25: 955-964 .
- [13] Boore J L . Complete mitochondrial genome sequence of *Urechis caupo*, a representative of the phylum Echiura[J]. *BMC Genomics*, 2004, 5(1): 67-74 .
- [14] Jennings R M, Halanych K M . Mitochondrial genomes of *Clymenella torquata* (Maldanidae) and *Riftia pachyptila* (Siboglinidae): evidence for conserved gene order in annelida[J]. *Mol/L Biol Evol*, 2005, 22(2): 210-222 .
- [15] Bleidorn C, Podsiadlowski L, Bartolomaeus T . The complete mitochondrial genome of the orbiniid polychaete *Orbinia latreillii* (Annelida, Orbiniidae)—A novel gene order for Annelida and implications for annelid phylogeny[J]. *Gene*, 2006, 370: 96-103 .
- [16] Boore J L, Brown W M . Mitochondrial genomes of *Galathealinum*, *Helobdella*, and *Platynereis*: sequence and gene arrangement comparisons indicate that Pogonophora is not a phylum and Annelida and Arthropoda are not sister taxa[J]. *Mol/L Biol Evol*, 2000, 17(1): 87-106 .
- [17] Boore J L, Brown W M . Complete sequence of the mitochondrial DNA of the annelid worm *Lumbricus terrestris*[J]. *Genetics*, 1995, 141(1): 305-319 .
- [18] Boore J L, Brown W M . Big trees from little genomes: mitochondrial gene order as a phylogenetic tool[J]. *Curr Opin Genet Dev*, 1998, 8: 668-674 .
- [19] Ren J F, Liu X, Zhang G F, et al . “Tandem duplication-random loss” is not a real feature of oyster mitochondrial genomes[J]. *BMC Genomics*, 2009, 10(10): 84-89 .

(下转第 35 页)